

УДК 523.942

**О. А. Баран, М. І. Стоділка**

Астрономічна обсерваторія Львівського національного університету імені Івана Франка  
вул. Кирила і Мефодія 8, Львів, 79005  
sun@astro.franko.lviv.ua

## **Особливості фотосферної конвекції Сонця на грануляційних, мезогрануляційних і супергрануляційних масштабах**

*Спектри потужності варіацій температури і вертикальних швидкостей у сонячній фотосфері розраховані з використанням даних спостережень у лінії нейтрального заліза 639.3 нм, отриманих на 70-см німецькому баштовому вакуумному телескопі VTT (Канарські острови, Іспанія) поблизу центра сонячного диску у спокійній області. Проаналізовано зміни спектрів з висотою: в нижній фотосфері потужність з висотою зменшується, основна потужність припадає на діапазон частот, що відповідає грануляції (пік на масштабах*

*1.5...2.0 Мм), у верхніх шарах фотосфери максимум спектру потужності зміщується у бік більших масштаб ( 1 Мм). Потужність варіацій вертикальної швидкості супергрануляції ( 20...30 Мм) практично не змінюється з висотою; окремого режиму мезогрануляції ( 5...12 Мм) на всіх досліджуваних висотах не виявлено. Конвективна структура сонячної фотосфери на мезогрануляційних масштабах з висотою веде себе подібно до грануляції: мезоструктури є частиною протяжного розподілу грануляційних масштабів. Показано, що супергрануляційні потоки стійкі вздовж всієї фотосфери і сягають набагато вищих шарів, ніж потоки грануляції.*

**ОСОБЕННОСТИ ФОТОСФЕРНОЙ КОНВЕКЦИИ СОЛНЦА НА ГРАНУЛЯЦИОННЫХ, МЕЗОГРАНУЛЯЦИОННЫХ И СУПЕРГРАНУЛЯЦИОННЫХ МАСШТАБАХ,** Баран А. А., Стодилка М. И. — Спектры мощности вариаций температуры и вертикальных скоростей в солнечной фотосфере рассчитаны с использованием данных наблюдений в линии нейтрального железа 639.3 нм, полученных на 70-см немецком башенном вакуумном телескопе VTT (Канарские острова, Испания) вблизи центра солнечного диска в спокойной области. Проанализированы изменения спектров с высотой: в нижней фотосфере мощ-

ність з висотою уменьшується, основна мощність приходить на діапазон частот, які відповідають грануляції (пік на масштабах ~ 1.5...2.0 Mm), в верхніх шарах фотосфери максимум спектра потужності смещається в сторону більших масштабів (~ 1 Mm).

Мощність змін температури та вертикальної швидкості супергрануляції (~ 20...30 Mm) практично не змінюється з висотою; окрім окремого режима мезогрануляції (~ 5...12 Mm) на всіх досліджуваних висотах не обнаружено. Конвективна структура сонячної фотосфери на мезогрануляційних масштабах з висотою веде себе подібно грануляції: мезоструктури являються частиною протяжного розподілення грануляційних масштабів. Показано, що супергрануляційні потоки устойчиві вдоль всієї фотосфери і досягають значителіше високих шарів, нежели потоки грануляції.

*PECULIARITIES OF SOLAR PHOTOSPHERIC CONVECTION AT GRANULAR, MESOGRANULAR AND SUPERGRANULAR SCALES, by Baran O. A., Stodilka M. I. — Power spectra of temperature and vertical velocity variations in the solar photosphere were calculated by using observational data of neutral iron line 639.3 nm obtained with the 70-cm German Vacuum Tower Telescope (Canary Islands, Spain) around the centre of the solar disc in the non-perturbed region. We analyzed the power spectra change with height. In the lower photosphere the main power is localized in the range corresponding to granulation with a peak at scales of about 1.5...2.0 Mm and decreases with height. In the upper photosphere maximum of the power spectrum is shifted towards larger scales (~ 1 Mm); the power of vertical velocity fluctuations of supergranulation (~ 20...30 Mm) practically does not change with height; a separate regime of mesogranulation (~ 5...12 Mm) was not found at all altitudes under study. According to our results, the convective structure of the solar photosphere on mesogranular scales behaves like the granulation, namely, mesostructures appear as a part of a broad distribution of granular scales. It is shown that supergranular flows are stable along the whole photosphere and reach much higher layers than the granular ones.*

## ВСТУП

При спостереженнях випромінювання Сонця виявляються флюктуації інтенсивності, швидкості та інших величин, що описують стан сонячної атмосфери на різних просторово-часових масштабах: грануляцію (~ 0.5...2.0 Mm), мезогрануляцію (5...12 Mm) і супергрануляцію (20...30 Mm) [33, 42]. Кожен елемент такої неоднорідної сонячної атмосфери бере одночасно участь у багатьох рухах, які складають спостережуване поле швидкостей.

Основні досягнення в області дослідження фотосферної конвекції зроблено на масштабах грануляції: тривалий час досліджується висот-

на стратифікація фізичних параметрів всередині грануляційних потоків, знайдено інверсію варіацій температури і вертикальної швидкості [5, 16, 27, 28, 32, 39], виявлено тонку структуру конвективних потоків [4, 7, 21, 39], менш досліджено поле горизонтальних швидкостей на грануляційних масштабах [1, 26]; проаналізовано еволюцію грануляційних комірок [7, 14, 23, 31, 37, 40]; отримано багатовимірні моделі грануляції, які відтворюють спостереження [6, 17, 37, 49].

На основі ранніх фотосферних спостережень супергрануляція вважається системою конвективних комірок з переважно горизонтальним рухом речовини [47]. Багато праць присвячено аналізу параметрічних властивостей супергрануляційних комірок [11, 13, 24, 30]. На сьогоднішній день відомо, що потік супергрануляції розходиться з центра комірки назовні, обмежуючись на краях контуром з сильних фотосферних магнітних полів і хромосферної сітки [42]: теплий потік, ймовірно, піднімається у центрі комірки, а холодний потік опускається на краях; проте виявлені горизонтальні флуктуації інтенсивності на масштабах супергрануляції дуже малі [18]. Теорія вказує на проникнення конвективних рухів великих масштабів набагато вище в атмосферу Сонця, ніж для малих утворень: вважається, що супергрануляція здатна проникати принаймні в шари середньої хромосфери і що рухи добре корелюють з комірчастою структурою у фотосфері [34]. Достатньо вивчені горизонтальні потоки на супергрануляційних масштабах, оскільки вимірювання супергрануляційних горизонтальних потоків поблизу лімба виявились найкращими для відтворення [1]. Однак лише частково досліджено вертикальну складову швидкостей всередині супергрануляційних комірок [8, 20, 44].

Ранні спостереження [35] сонячної атмосфери виявили структури, більші за гранули, які назвали мезогранулами, проте відмінність мезогрануляції від грануляції довгий час залишалась не підтвердженою, але і не спростованаю. Більшість подальших досліджень цього явища ґрунтуються на аналізі специфічних властивостей окремих гранул розширятися до більших (мезогрануляційних) масштабів (так звані активні, вибухаючі гранули) [14, 22, 36, 38, 40]. В роботі [25] вперше було виявлено у фотосфері Сонця довгоживучі структури, які були названі «сімействами активних гранул». Пізніше в роботі [45] за допомогою 3D-аналізу поля інтенсивності на грануляційних масштабах підтверджено припущення, що значна частина гранул в сонячній фотосфері об'єднується у подібні утворення, які були названі авторами «деревами з гранул, що фрагментуються».

З досліджень [43] стало відомо, що встановлення чи інтерпретація природи потоків більших масштабів залежить від методу та методики обробки даних і що просторова кореляція між вибухаючими гранулами може створювати великомасштабну нестабільність на більших масштабах. Таким чином, структурні утворення, більші за грануляційні, можуть виникати внаслідок просторового і часового усереднення даних, а отже, мезогрануляція не є справжнім елементом конвекції.

Роботи [29, 41, 46] підтвердили ці припущення.

Іншим підходом до вирішення проблеми виділення конвективних утворень окремих просторових масштабів є дослідження енергетики конвективних рухів у сонячній атмосфері. Аналіз спектрів потужності флюктуацій швидкості (кінетична енергія) та інтенсивності чи температури (теплова енергія) дає інформацію про енергетичні втрати та взаємоперетворення енергії на різних масштабах. Спектри потужності флюктуацій інтенсивності і швидкості конвективних рухів на масштабах грануляції розглянуто в роботі [15]: знайдено коефіцієнти нахилу спадної частини спектру, які дають інформацію про фізичні характеристики грануляції залежно від розміру комірки. На основі спектрів потужності сонячної конвекції в роботі [44] досліджено залежності поля швидкостей та інтенсивності від просторових масштабів. З метою дослідження природи явища мезогрануляції в роботах [9, 10] побудовано спектри потужності. У роботі [10] не знайдено локального максимуму, який би відповідав мезогрануляції, а у роботі [9], де були використані дані з кращим розділенням, зроблено протилежний висновок. На спектрах потужності, отриманих в роботі [48], мезоструктури виявилися невіддільною частиною розширеного розподілу грануляційних масштабів. В роботі [19] також отримано лише два піки, що відповідають грануляції і супергрануляції.

Таким чином, характер конвективних рухів на різних просторово-часових масштабах ще до кінця не вивчено, досі немає однозначної інтерпретації даних спостережень. Тому відтворення і аналіз варіацій фізичних параметрів сонячної конвекції за результатами сучасних спостережень залишається актуальним.

Мета нашої роботи — за даними спостережень Сонця в лінії нейтрального заліза з високим просторовим розділенням отримати спектри потужності варіацій температури і вертикальної швидкості сонячної конвекції, дослідити їхні зміни на різних висотах; за особливостями спектрів потужності виділити і дослідити конвективну структуру сонячної фотосфери на різних просторово-часових масштабах.

## ОТРИМАНІ РЕЗУЛЬТАТИ

Наші дослідження базуються на результатах спостережень в лінії нейтрального заліза 639.3 нм, отриманих Н. Г. Щукіною на 70-см вакуумному баштовому телескопі VTT (Канарські острови, Іспанія) поблизу центра сонячного диска у спокійній області з просторовим розділенням 0.5 [2]. Час спостереження — 2.6 год. Протяжність області спостереження вздовж поверхні Сонця — 64 Мм, досліджувані глибини лежать у межах від -25 до 550 км (в рамках моделі спокійної атмосфери Сонця VAL-80 [50]).

Тут ми аналізуємо результати відтворення просторово-часових варіацій температури і вертикальної швидкості у фотосфері Сонця,

отриманих на основі профілів спостережуваної лінії шляхом розв'язку нерівноважної інверсної задачі переносу випромінювання [3].

Структура фотосфери Сонця визначається як конвективними, так і хвильовими рухами. Для подальшого дослідження конвекції хвильову складову варіацій температури і вертикальної швидкості у спостережуваній області видалено за допомогою  $k$ -фільтрації. Окремо ми видалили рухи з періодом  $T > 20$  хв, тобто виключили грануляцію з малим і середнім часом життя, що дає можливість краще дослідити більші просторово-часові масштаби — мезогрануляцію і супергрануляцію.

**Спектри потужності.** Розглянемо енергетику конвекції в сонячній фотосфері. Маючи просторово-часові варіації температури і вертикальних швидкостей вздовж однієї просторової координати у фотосфері Сонця, отримуємо відповідні спектри потужності в координатах —  $k_x$ , просумовані по часовій частоті:

$$P(k_x) = d \cdot P( , k_x).$$

Оскільки для спокійної атмосфери Сонця всі напрямки в горизонтальній площині рівноправні, спектр потужності для 2D-іміджів отримаємо зі спектру для одновимірних іміджів за допомогою корекції [9]:

$$P_2(k) = 2 \cdot kP_1(k).$$

Таким чином, ми побудували спектри потужностей конвективної складової температурних варіацій і вертикальних швидкостей на різних висотах у сонячній фотосфері (рис. 1 та 2, зліва) і відповідні спектри для рухів з періодом  $T > 20$  хв (рис. 1 та 2, справа). Для порівняння спектрів всієї конвекції і спектрів довгоперіодичних варіацій їх нормовано на один максимум спектру, порахований для всієї конвекції на висоті  $h = -25$  км.

Обмежені час та область спостережень призводять до дрібних піків у спектральних залежностях. Наявність багатьох піків свідчить швидше про погану статистичну стійкість отриманих результатів, ніж про властивості незбуреної атмосфери. Щоб краще побачити загальні зміни спектрів з висотою, ми провели апроксимацію отриманих нами кривих функцією  $P(k) = Ak^{-k}$  (залежність підібрана з урахуванням залежностей, отриманих в роботах [15, 44]), причому коефіцієнти  $A$ , , для кожного спектру підбирались індивідуально. На графіках ми також позначили область 3 .

На рис. 1 представлено спектри потужності температурних варіацій фотосферної конвекції всіх масштабів на висотах  $h = 0, 200$  і  $400$  км (зліва) та спектри потужності температурних варіацій для рухів з періодом  $T > 20$  хв на відповідних висотах (справа). Як бачимо з рис. 1, в, на висоті  $h = 0$  км, тобто в шарах нижньої фотосфери, зосереджено найбільшу потужність варіацій температури. Основна потужність на цих висотах в обох випадках відповідає діапазону грануляційних масштабів: максимальні значення потужності для всієї конвекції і для

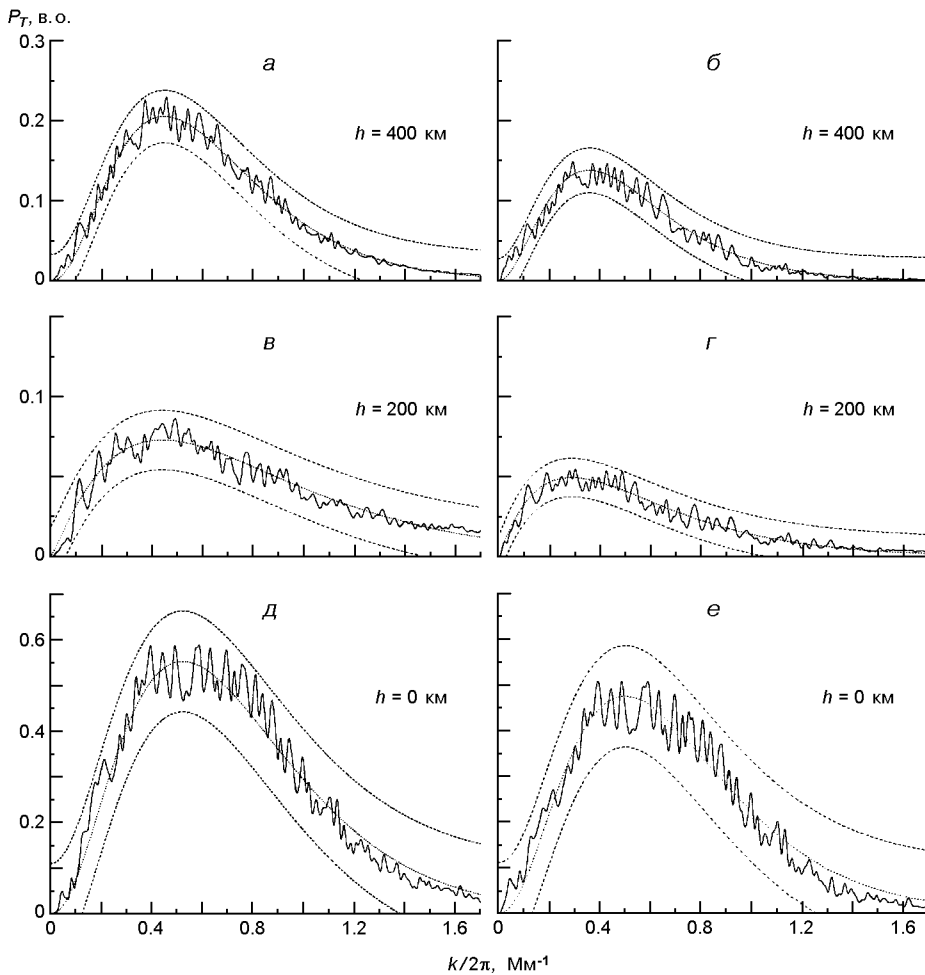


Рис. 1. Спектри потужності температурних варіацій в сонячній фотосфері на висотах 400 км (a), 200 км (б) і 0 км (в): зліва — для конвективних рухів всіх можливих часових частот, справа — для рухів з періодом  $T > 20$  хв

конвективних рухів з періодом  $T > 20$  хв на спектрі зосереджені поблизу просторових частот  $k/(2\pi) = 1/\tau = 0.5...0.6 \text{ 1/Mm}$ , або

$1.5...2.0 \text{ Mm}$ . З висотою потужність температурних варіацій суттєво зменшується. У верхніх шарах фотосфери максимальні значення потужності на всіх спектрах зміщуються у бік менших просторових частот, причому для довгоперіодичних варіацій ці зміщення на порядок більші, ніж у випадку всієї конвекції, і становлять  $\sim 1 \text{ Mm}$  на висоті  $h = 400 \text{ km}$  порівняно з положенням максимуму потужності на  $h = 0 \text{ km}$ . Однак в обох розглянутих випадках максимальна потужність температурних варіацій все ж залишається у межах грануляційних масштабів у всіх шарах сонячної фотосфери.

На рис. 2 показано спектри потужності варіацій вертикальних швидкостей фотосферної конвекції всіх масштабів на висотах  $h = 0$ ,

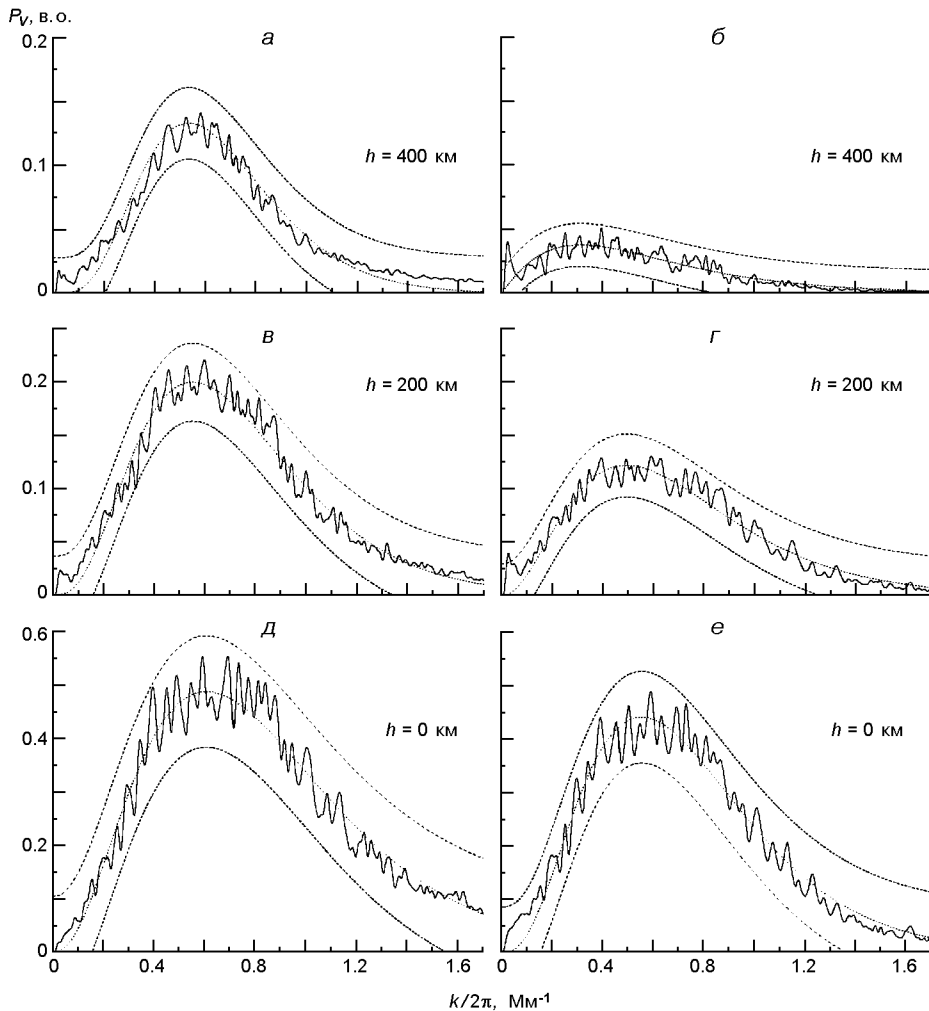


Рис. 2. Теж для вертикальних швидкостей

200 і 400 км (зліва) і аналогічні спектри для рухів з періодом  $T > 20$  хв (справа). В обох випадках максимальна потужність також зосереджена в нижній фотосфері (рис. 2, *в*) в діапазоні просторових частот  $k / (2\pi) = 1 / 0.5 \dots 0.6$  1/Mм, що відповідають грануляційним масштабам 1.5...2.0 Мм. У вищих шарах фотосфери потужність варіацій вертикальних швидкостей на грануляційних масштабах зменшується. Максимальні значення потужності варіацій вертикальних швидкостей на цих масштабах з висотою теж дещо зміщуються на спектрі у бік менших просторових частот, аналогічно до спектрів потужності температурних варіацій, причому для довгоперіодичних варіацій ці зміщення також на порядок більші, ніж у випадку всієї конвекції, і становлять 1 Мм на висоті  $h = 400$  км порівняно з положенням максимуму потужності на  $h = 0$  км.

Що ж стосується малих просторових частот, що відповідають супергрануляції, то тут на висоті  $h = 0$  км потужність варіацій вертикальних швидкостей, яка припадає на цей діапазон, доволі незначна порівняно з основною ділянкою спектру, що відповідає більшим частотам. Проте з висотою (рис. 2, *a, b*) потужність на цих частотах практично не змінюється, і у верхніх шарах фотосфери ( $h = 400$  км) стає вагомішою на фоні решти спектру, де значення потужності суттєво зменшується — приблизно на порядок порівняно з  $h = 0$  км на рис. 2, *c*. Доволі суттєвий пік, відділений від решти спектру чітким мінімумом на просторових частотах  $k / (2\pi) = 1 / 1/\text{Мм}$  ( $\approx 12$  Мм), краще спостерігається на спектрі потужності для довгоперіодичних варіацій з  $T > 20$  хв на рис. 2, *a, b*, справа, а вже починаючи з  $h = 200$  км і вище перевищує область 3. Висотний розподіл спектру потужності вертикальних швидкостей вказує на те, що конвективні потоки на супергрануляційних масштабах краще зберігаються при проникненні у верхні шари фотосфери. Зауважимо, що на спектрі потужності температурних варіацій супергрануляція подібним чином не проявляється, оскільки, як згадувалось раніше, температурні варіації на супергрануляційних масштабах досить незначні [18].

Отже, на отриманих нами спектрах потужності вертикальних швидкостей у верхніх шарах фотосфери грануляційні і супергрануляційні масштаби досить чітко розділені. Проте немає видимих проявів особливої поведінки тієї частини спектру, що б відповідала мезогрануляції, оскільки на масштабах  $< 12$  Мм варіації температури і вертикальних швидкостей зазнають подібних змін з висотою.

**Особливості температурної структури і поля вертикальних швидкостей сонячної конвекції.** Далі ми проводимо аналіз особливостей поведінки розподілів варіацій фізичних параметрів сонячної конвекції по висоті. Для цього було виділено три просторово-часові масштаби: грануляцію, мезогрануляцію і супергрануляцію.

**Грануляційні масштаби.** Методом фільтрації просторових і часових частот ми виділили просторові розподіли варіацій температури і вертикальної швидкості на грануляційних масштабах ( $\tau = 0.5 \dots 5.0$  Мм) у фотосфері Сонця вздовж двох просторових координат ( $h$  — по висоті,  $X$  — вздовж поверхні Сонця). Шляхом усереднення по просторовій координаті і часу ми порахували коефіцієнти кореляції цих варіацій в нижній фотосфері (на висоті  $h = 0$  км) з відповідними варіаціями у верхніх шарах сонячної фотосфери. Максимальна похибка коефіцієнтів кореляції в цьому випадку складає 0.002.

Коефіцієнт кореляції  $r_{T_0, T}$  температурних варіацій грануляції на різних висотах у досліджуваній області з відповідними варіаціями на висоті  $h = 0$  км представлено на рис. 3, *a* суцільною лінією. Як бачимо, із збільшенням висоти коефіцієнт кореляції змінюється від  $r_{T_0, T} = 1$  до  $r_{T_0, T} = 0$  на висоті  $h = 210$  км, а вище знову збільшується і набуває від'ємних значень у межах  $|r_{T_0, T}| < 0.3$ . Зміна знаку кореляції викликана, перш за все, температурною інверсією. Отже, цю висоту можна

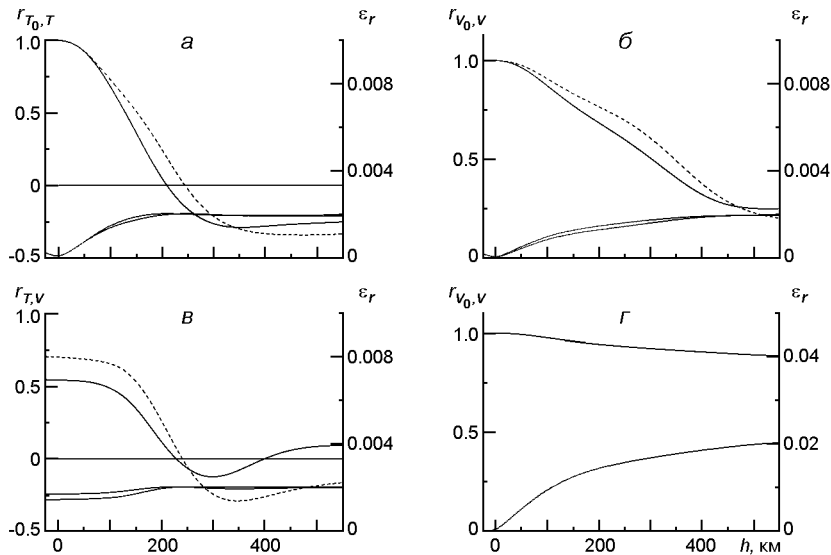


Рис. 3. Коєфіцієнти кореляції  $r_{T_0,T}$  варіацій температури грануляції (суцільна лінія) і мезогрануляції (штрихи) на різних висотах з варіаціями температури на висоті  $h = 0$  км (а), відповідні коєфіцієнти кореляції  $r_{V_0,V}$  вертикальних швидкостей на різних висотах з вертикальними швидкостями на висоті  $h = 0$  км (б), відповідні коєфіцієнти кореляції  $r_{T,V}$  варіацій температури і вертикальних швидкостей як функція висоти (в), коєфіцієнт кореляції  $r_{V_0,V}$  вертикальних швидкостей супергрануляції на різних висотах з вертикальними швидкостями на висоті  $h = 0$  км (г). Похибки коєфіцієнтів кореляції вказані на кожному графіку сірою точковою лінією і відповідають правій шкалі

вважати початком інверсії температурних варіацій на грануляційних масштабах. Зазначимо, що область температурної інверсії досить широка, оскільки дляожної окремої комірки висота інверсії залежить від контрасту інтенсивності і розмірів самої комірки (що більша гранула, то вище відбувається місце температурна інверсія [5, 27]). Отже, температурна структура сонячної фотосфери на грануляційних масштабах лише частково відновлюється в верхніх шарах досліджуваної області.

Коефіцієнт кореляції  $r_{V_0,V}$  варіацій вертикальних швидкостей грануляції на різних висотах з відповідними варіаціями на висоті  $h = 0$  км показано на рис. 3, б суцільною лінією. Як бачимо, його значення доволі різко зменшується з висотою від  $r_{V_0,V} = 1$  до мінімальних значень  $|r_{V_0,V}| \approx 0.3$  на висотах  $h > 400$  км. Це є наслідком горизонтального зміщення структури вертикальних швидкостей у верхніх шарах фотосфери [4], а також можливої інверсії швидкостей: у верхніх шарах фотосфери змінюється напрямок руху речовини на протилежний [27, 28]. Проте наявність мінімальної кореляції у верхній фотосфері на грануляційних масштабах все ж свідчить про часткове збереження структури грануляційних потоків у полі вертикальних швидкостей по всій висоті аж до температурного мінімуму.

Ми порахували коефіцієнт кореляції  $r_{T,V}$  варіацій температури і вертикальних швидкостей як функцію висоти для грануляції (рис. 3, в,

суцільна лінія). Як бачимо, максимального значення  $r_{T,V} = 0.55$  цей коефіцієнт досягає в нижній фотосфері, та з висотою зменшується до  $r_{T,V} = 0$  на висоті  $h = 225$  км (відбувається температурна інверсія). В верхніх шарах фотосфери він набуває незначних від'ємних значень  $|r_{T,V}| < 0.15$ , причому на висоті  $h = 400$  км змінює знак вдруге (подвійна інверсія [5, 27]). Отже, в середній і верхній фотосфері грануляційна структура частково відновлюється, проте інверсія варіацій температури і вертикальних швидкостей та їхні горизонтальні зміщення погіршують кореляцію цих варіацій у верхніх шарах.

*Мезогрануляційні масштаби.* Методом фільтрації просторових і часових частот аналогічно до грануляції ми виділили просторові розподіли варіацій температури і вертикальної швидкості на мезогрануляційних масштабах ( $= 5 \dots 12$  Мм). Шляхом усереднення по просторовій координаті і часу ми порахували коефіцієнти кореляції цих варіацій у нижній фотосфері (на висоті  $h = 0$  км) з відповідними варіаціями у верхніх шарах сонячної фотосфери. Максимальна похибка коефіцієнтів кореляції в цьому випадку складає 0.002.

Коефіцієнт кореляції  $r_{T_0,T}$  температурних варіацій мезогрануляції на різних висотах в досліджуваній області з відповідними варіаціями на висоті  $h = 0$  км показано на рис. 3, а штриховою лінією. Як бачимо, зі збільшенням висоти коефіцієнт кореляції на мезогрануляційних масштабах різко зменшується, змінює знак на висоті  $h = 245$  км і набуває мінімальних значень у верхніх шарах фотосфери. Отже, температурна структура сонячної фотосфери на мезогрануляційних масштабах з висотою поводиться аналогічно до грануляції, причому інверсія відбувається трохи вище, ніж у випадку грануляції, за рахунок більшого розміру комірки.

Коефіцієнт кореляції  $r_{V_0,V}$  варіацій вертикальних швидкостей мезогрануляції на різних висотах з відповідними варіаціями на висоті  $h = 0$  км представлено на рис. 3, б штриховою лінією. Як бачимо, цей коефіцієнт різко зменшується від максимальних значень у нижній фотосфері до мінімуму у верхній фотосфері, як це відбувається і у випадку грануляційних масштабів.

Ми порахували коефіцієнт кореляції  $r_{T,V}$  варіацій температури і вертикальних швидкостей як функцію висоти для мезогрануляції (рис. 3, в, штрихова лінія). Максимальна кореляція на мезогрануляційних масштабах ( $r_{T,V} = 0.70$ ) має місце в нижній фотосфері та знижується до  $r_{T,V} = 0$  на висоті  $h = 240$  км через температурну інверсію. У верхніх шарах фотосфери отриманий нами коефіцієнт кореляції набуває незначних від'ємних значень  $|r_{T,V}| < 0.30$  для мезогрануляції. Таким чином, конвективна структура на мезомасштабах максимально проявляється в нижніх шарах фотосфери, і лише частково її видно у верхніх шарах, причому мезогрануляція поводиться подібно до грануляції.

На основі аналізу згаданих коефіцієнтів кореляції ми дійшли висновку, що мезоструктури є частиною протяжного розподілу грануляційних масштабів. Отже, мезогранули — це великі довгоживучі гранули або їхні комплекси [25, 45, 46].

*Супергрануляційні масштаби.* Для виділення конвективних рухів на супергрануляційних масштабах (20...30 Мм) ми пригнічували рухи з горизонтальними швидкостями більшими за 0.5 км/с (згідно з роботами [44, 47]) з подальшим усередненням їх за час спостереження — 2.6 год. В результаті ми отримали усереднений в часі просторовий розподіл варіацій вертикальних швидкостей на супергрануляційних масштабах.

Шляхом усереднення по просторовій координаті ми обчислили коефіцієнт кореляції варіацій вертикальних швидкостей супергрануляції на  $h = 0$  км з відповідними варіаціями у верхніх шарах сонячної фотосфери. Виявилось, що кореляція залишається високою вздовж всіх досліджуваних висот — потоки супергрануляції проходять через всю фотосферу до висот температурного мінімуму і, вочевидь, вище.

## ВИСНОВКИ

На основі даних VTT-спостережень в лінії Fe I 639.3 нм з високим просторовим і часовим розділенням побудовано і проаналізовано спектри потужності (з 2D-корекцією) варіацій температури і вертикальних швидкостей фотосферної конвекції Сонця; для кращого виділення потужності на великих просторово-часових масштабах побудовано також спектри потужності для довгоперіодичних варіацій ( $T > 20$  хв), тобто виключено грануляцію з малим і середнім часом життя.

— у нижніх шарах фотосфери максимальна потужність варіацій температури і вертикальних швидкостей для всієї конвекції та для довгоперіодичних варіацій зосереджена на масштабах, що відповідають грануляції; з висотою потужність на грануляційних масштабах зменшується; у верхніх шарах фотосфери максимуми спектрів зміщуються у бік більших просторових масштабів, причому для довгоперіодичних варіацій ці зміщення на порядок більші, ніж у випадку всієї конвекції, проте максимальна потужність все ж залишається у межах грануляційних масштабів.

— частина спектру потужності варіацій вертикальних швидкостей, яка відповідає масштабам  $> 12$  Мм, залишається практично незмінною на всіх досліджуваних висотах (і краще виражається на спектрах для довгоперіодичних варіацій). Цим масштабам відповідають супергрануляційні потоки, які краще зберігаються при проникенні у верхні шари фотосфери. На спектрі потужності температурних варіацій супергрануляція подібним чином не проявляється.

Отже, на отриманих нами спектрах потужності вертикальних швидкостей у верхніх шарах фотосфери грануляційні і супергрануляційні масштаби досить чітко розділені; проте немає видимих проявів особливої поведінки тієї частини спектру, що б відповідала мезогрануляції, оскільки на масштабах  $< 12$  Мм (мезогрануляційні та грануляційні масштаби) варіації температури і вертикальних швидкостей з висотою зазнають аналогічних змін.

Досліджено висотні зміни варіацій температури і вертикальних швидкостей на грануляційних (0.5...5.0 Мм) та мезогрануляційних (5...12 Мм) масштабах і варіацій вертикальних швидкостей на супергрануляційних масштабах (20...30 Мм). Шляхом аналізу відповідних коефіцієнтів кореляції ми показали, що:

— температурна структура сонячної фотосфери на мезогрануляційних масштабах з висотою веде себе як на грануляційних масштабах і так само лише частково відновлюється у верхніх шарах фотосфери;

— поле вертикальних швидкостей на мезогрануляційних масштабах теж веде себе подібно до грануляції і так само лише частково зберігається у верхніх шарах фотосфери; у випадку супергрануляції відповідна кореляція залишається високою вздовж всіх досліджуваних висот — потоки супергрануляції проходять через всю фотосферу до висот температурного мінімуму і, вочевидь, вище;

— варіації температури і конвективних швидкостей на грануляційних і мезогрануляційних масштабах корелюють максимально у нижній фотосфері; у верхніх шарах фотосфери кореляція варіацій температури і конвективних швидкостей на цих масштабах стає незначною.

Таким чином, конвективна структура сонячної фотосфери на мезогрануляційних масштабах з висотою веде себе подібно до грануляції, а тому мезоструктури є частиною протяжного розподілу грануляційних масштабів: мезогранули — це великі довгоживучі гранули або їхні комплекси.

Ми щиро вдячні Н. Г. Щукіній і Р. І. Костику за надані результати спостережень.

1. Баран О. А., Стоділка М. І. Поле горизонтальних конвективних швидкостей за спостереженнями на краю диску Сонця // Кінематика і фізика небес. тел.—2010.—**26**, № 3.—С. 34—49.
2. Костык Р. И., Щукина Н. Г. Тонкая структура конвективных движений в фотосфере Солнца: наблюдения и теория // Астрон. журн.—2004.—**81**, № 9.—С. 846—859.
3. Стоділка М. І. Інверсна задача для дослідження неоднорідностей атмосфери Сонця та зір // Журн. фіз. досліджень.—2002.—**6**, № 4.—С. 435—442.
4. Стоділка М. І., Баран О. А. Структура фотосферної конвекції Сонця на субгрануляційних масштабах // Кінематика і фізика небес. тел.—2008.—**24**, № 2.—С. 99—109.
5. Стоділка М. І., Баран О. А., Малинич С. З. Особенности конвекции в фотосфере Солнца // Кінематика і фізика небес. тел.—2006.—**22**, № 3.—С. 173—182.
6. Asplund M., Ludvig H.-G., Nordlund A., Stein R. F. The effects of numerical resolution on hydrodynamical surface convection simulations and spectral line formation // Astron. and Astrophys.—2000.—**359**, N 2.—P. 669—681.
7. Baran O. A. Structure of convective flows of the real Solar granulation // Advances in Astronomy and Space Physics.—2011.—1, N 1-2.—P. 53—56.
8. Baran O. A. Structure of convective flows on supergranular scales in the solar photosphere // Advances in Astronomy and Space Physics.—2012.—2, N 2.—P. 153—156.

9. Chou D.-Y., Chen C.-S., Ou K.-T., Wang C.-C. Power spectra of median- and small-scale solar convection // *Astrophys. J.*—1992.—**396**.—P. 333—339.
10. Chou D.-Y., Labonte B. J., Braun D. C., Duvall T. L. Power spectra of solar convection // *Astrophys. J.*—1991.—**372**.—P. 314—320.
11. Del Moro D., Berrilli F., Duvall T. L., Kosovichev A. G. Dynamics and structure of supergranulation // *Solar Phys.*—2004.—**221**, N 1.—P. 23—32.
12. Del Moro D., Giordano S., Berrilli F. 3D photospheric velocity field of a supergranular cell // *Astron. and Astrophys.*—2007.—**472**, N 2.—P. 599—605.
13. De Rosa M. L., Toomre J. Evolution of solar supergranulation // *Astrophys. J.*—2004.—**616**, N 2.—P. 1242—1260.
14. Dialetis D., Macris C., Prokakis T., Muller R. A possible relation between lifetime and location of solar granules // *Astron. and Astrophys.*—1988.—**204**, N 1-2.—P. 275—278.
15. Espagnet O., Muller R., Roudier T., Mein N. Turbulent power spectra of solar granulation // *Astron. and Astrophys.*—1993.—**271**.—P. 589—600.
16. Espagnet O., Muller R., Roudier T., et al. Penetration of the solar granulation into the photosphere: height dependence of intensity and velocity fluctuations // *Astron. and Astrophys. Suppl. Ser.*—1995.—**109**, N 1.—P. 79—108.
17. Gadun A. S., Hanslmeier A., Pikalov K. N., et al. Size-dependent properties of simulated 2-D solar granulation // *Astron. and Astrophys. Suppl. Ser.*—2000.—**146**.—P. 267—291.
18. Goldbaum N., Rast M. P., Ermolli I., et al. The intensity profile of the solar supergranulation // *Astrophys. J.*—2009.—**707**, N 1.—P. 67—73.
19. Hathaway D. H., Beck J. G., Bogart R. S., et al. The photospheric convection spectrum // *Solar Phys.*—2000.—**193**.—P. 299—312.
20. Hathaway D. H., Beck J. G., Han S., Raymond J. Radial flows in supergranules // *Solar Phys.*—2002.—**205**, N 1.—P. 25—38.
21. Hirzberger J. On the brightness and velocity structure of solar granulation // *Astron. and Astrophys.*—2002.—**392**, N 2.—P. 1105—1118.
22. Hirzberger J., Bonet J. A., Vazquez M., Hanslmeier A. Time series of solar granulation images. III. Dynamics of exploding granules and related phenomena // *Astrophys. J.*—1999.—**527**.—P. 405—414.
23. Hirzberger J., Bonet J. A., Vazquez M., Hanslmeier A. Time series of solar granulation images. II. Evolution of individual granules // *Astrophys. J.*—1999.—**515**, N 1.—P. 441—454.
24. Hirzberger J., Gizon L., Solanki S. K., Duvall T. L. Structure and evolution of supergranulation from local helioseismology // *Solar Phys.*—2008.—**251**, N 1-2.—P. 417—437.
25. Kawaguchi I. Morphological study of the solar granulation. The fragmentation of granules // *Solar Phys.*—1980.—**65**.—P. 207—220.
26. Komm R., Mattig W., Nesis A. The small-scale velocity field in the solar photosphere // *Astron. and Astrophys.*—1991.—**243**, N 1.—P. 251—262.
27. Kostik R., Khomenko E., Shchukina N. Solar granulation from photosphere to low chromosphere observed in Ba II 4554 Å line // *Astron. and Astrophys.*—2009.—**506**, N 3.—P. 1405—1414.
28. Kostyk R. I., Shchukina N. G. Fine structure of convective motions in the solar photosphere: observations and theory // *Astron. Reports.*—2004.—**48**, N 9.—P. 769—780.

29. Matloch L., Cameron R., Schmitt D., Schussler M. Modelling of solar mesogranulation // Astron. and Astrophys.—2009.—**504**.—P. 1041—1055.
30. Meunier N., Tkaczuk R., Roudier Th., Rieutord M. Velocities and divergences as a function of supergranule size // Astron. and Astrophys.—2007.—**461**, N 3.—P. 1141—1147.
31. Nesis A., Hammer R., Roth M., Schleicher H. Dynamics of the solar granulation. VIII. Time and space development // Astron. and Astrophys.—2002.—**396**, N 3.—P. 1003—1010.
32. Nesis A., Hammer R., Roth M., Schleicher H. Dynamics of the solar granulation. IX. A global approach // Astron. and Astrophys.—2006.—**451**, N 3.—P. 1081—1089.
33. Nordlund A., Stein R. F., Asplund M. Solar surface convection // Liv. Rev. Solar Phys.—2009.—**6**, N 2.—117 p.
34. November L. J. The vertical component of the supergranular convection // Astrophys. J.—1989.—**344**.—P. 494—503.
35. November L. J., Toomre J., Gebbie K. B., Simon G. W. The detection of mesogranulation on the Sun // Astrophys. J.—1981.—**245**.—P. L123—L126.
36. Oda N. Morphological study of the solar granulation. III. The mesogranulation // Solar Phys.—1984.—**93**.—P. 243—255.
37. Ploner S. R. O., Solanki S. K., Gadun A. S. The evolution of solar granules deduced from 2-D simulations // Astron. and Astrophys.—1999.—**352**, N 2.—P. 679—696.
38. Potzi W., Brandt P. N., Hanslmeier A. Variation of granular evolution at meso-scales // Hvar Observ. Bull.—2003.—**27**, N 1.—P. 39—46.
39. Puschmann K., Ruiz Cobo B., Vazquez M., et al. Time series of high resolution photospheric spectra in a quiet region of the Sun. II. Analysis of the variation of physical quantities of granular structures // Astron. and Astrophys.—2005.—**441**, N 3.—P. 1157—1169.
40. Rast M. P. On the nature of “exploding” granules and granule fragmentation // Astrophys. J.—1995.—**443**.—P. 863—868.
41. Rast M. P. The scales of granulation, mesogranulation, and supergranulation // Astrophys. J.—2003.—**597**, N 2.—P. 1200—1210.
42. Rieutord M., Rincon F. The Sun’s supergranulation // Liv. Rev. Solar Phys.—2010.—**7**, N 2.—82 p.
43. Rieutord M., Roudier T., Malherbe J. M., Rincon F. On mesogranulation, network formation and supergranulation // Astron. and Astrophys.—2000.—**357**.—P. 1063—1072.
44. Rieutord M., Roudier T., Rincon F., et al. On the power spectrum of solar surface flows // Astron. and Astrophys.—2010.—**512**.—id.A4.—11 p.
45. Roudier Th., Lignieres F., Rieutord M., et al. Families of fragmenting granules and their relation to meso- and supergranular flow fields // Astron. and Astrophys.—2003.—**409**.—P. 299—308.
46. Roudier Th., Muller R. Relation between families of granules, mesogranules and photospheric network // Astron. and Astrophys.—2004.—**419**.—P. 757—762.
47. Simon G. W., Leighton R. B. Velocity fields in the solar atmosphere. III. Large-scale motions, the chromospheric network, and magnetic fields // Astrophys. J.—1964.—**140**.—P. 1120—1147.
48. Straus T., Bonaccini D. Dynamics of the solar photosphere. I. Two-dimensional spectroscopy of mesoscale phenomena // Astron. and Astrophys.—1997.—**324**.—P. 704—712.

49. Stein R. F. Solar surface magneto-convection // *Liv. Rev. Solar Phys.*—2012.—**9**, N 4.—P. 1—51.
50. Vernazza J. E., Avrett E. H., Loeser R. Structure of the solar chromosphere. III. Models of the EUV brightness components of the quiet-sun // *Astrophys. J. Suppl. Ser.*—1981.—**45**.—P. 635—725.
51. Yelles Chaouche L., Moreno-Insertis F., Martinez Pillet V., et al. Mesogranulation and the solar surface magnetic field distribution // *Astrophys. J. Lett.*—2011.—**727**, N 2. id. L30.—6 p.

Статья поступила в редакцию 12.09.13